

บทความทั่วไป/Review Article

การแบ่งประเภทความผิดปกติของโรคกลุ่ม Vitreomacular Adhesion, Vitreomacular Traction, และ Macular Hole ตามแนวทางของ The International Vitreomacular Traction Study Group



ชวกิจ ภูมิบุญชู, พ.บ.

วิภาดา เหล่าวีโรจนกุล, พ.บ.

ปัจจุบันการตรวจหาความผิดปกติบริเวณที่เป็นส่วนต่อประสานระหว่างวุ้นตาและจุดภาพชัด (vitreomacular interface, VMI) ทำได้อย่างละเอียดและมีความแม่นยำมากขึ้น ใช้ระยะเวลาในการตรวจน้อยลง โดยการอาศัยเครื่องตรวจ OCT (optical coherence tomography)

ความผิดปกติในบริเวณดังกล่าวเกิดจากการแยกตัวของวุ้นตาจากจอตา มีการให้นิยามและการแบ่งกลุ่มของโรคที่ชัดเจนขึ้นโดยอ้างอิงจากแนวทางของ International Vitreomacular Traction Study Group (IVTS) ซึ่งใช้การตรวจด้วยเครื่อง OCT เป็นมาตรฐาน (OCT based definition and classification) ในการวินิจฉัยโรคกลุ่มนี้ โดยสามารถแบ่งความผิดปกติเป็นกลุ่มอาการ ได้แก่ vitreomacular adhesion (VMA), vitreomacular traction (VMT) และ macular hole (MH) ซึ่งบทความนี้ได้นำเสนอทั่วไปอย่างกว้างขวาง เพื่อความเข้าใจดังนี้

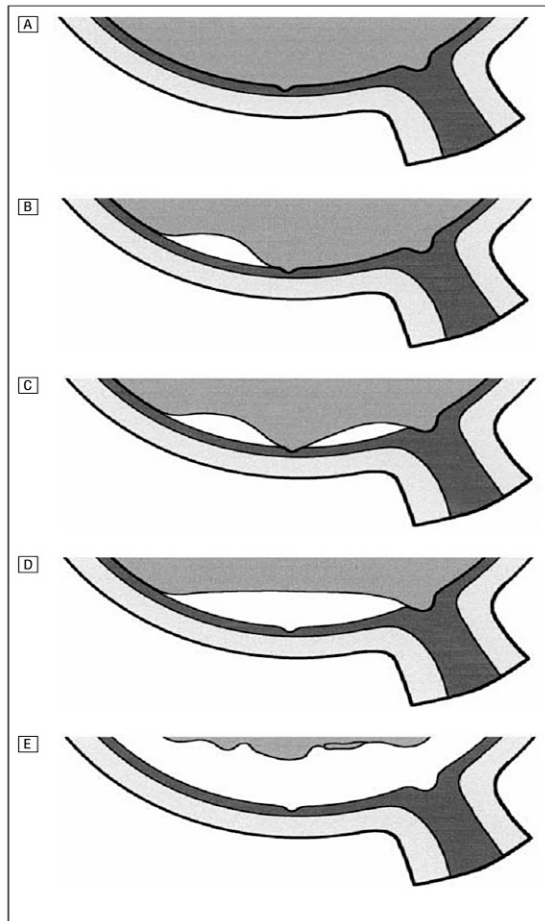
ธรรมชาติของวุ้นตา โครงสร้างของวุ้นตา

- วุ้นตาประกอบด้วย 2 ส่วน คือ
1. Vitreous body เป็นส่วนหลักของวุ้นตาอยู่ตรงกลางมีน้ำเป็นองค์ประกอบ ร้อยละ 98 และมีอีกร้อยละ 2 เป็นโมเลกุลขนาดใหญ่ (macromolecule)^{1,2} มีลักษณะเป็นเจลใสยืดหยุ่นคล้ายวุ้นใส มีปริมาตร 4 มิลลิลิตรในผู้ใหญ่
 2. Vitreous cortex คือส่วนที่เป็นเปลือกของวุ้นตา มีคอลลาเจนอยู่มาก และยึดติดกับผนังด้านในจอตาทั้งหมด โดยยึดกับชั้น ILM (internal limiting membrane) ของจอตา การยึดเกาะระหว่างเนื้อเยื่อทั้ง 2 นี้อาศัยโครงสร้าง macromolecule ซึ่งภายในโครงสร้างนี้ยังมีองค์ประกอบปนอยู่หลายชนิด ทำหน้าที่ในการยึดเกาะของวุ้นตาและจอตา³⁻⁵

ผู้นิพนธ์ไม่มีส่วนเกี่ยวข้องหรือผลประโยชน์ใดๆกับผลิตภัณฑ์ที่ได้กล่าวถึงในบทความนี้

หน่วยโรคจอตาและวุ้นตา รพ. ศรีนครินทร์ มหาวิทยาลัยขอนแก่น

ตามแนวทางของ The International Vitreomacular Traction Study Group



รูปที่ 1 แสดงระยะของการแยกตัวของวัน 4 ระยะ คือ

- ยังไม่มีการลอกตัว
- stage i บริเวณรอบ fovea (perifoveal region) บางส่วนลอกหลุด
- stage ii การลอกหลุดขยายทั่ว perifoveal region, แต่ยังมีการยึดติดของวันตาที่บริเวณ fovea และข้าวประสาทตา (optic disc) อยู่
- stage iii การลอกหลุดของวันตาที่ fovea
- stage iv การลอกหลุดของวันตาที่ข้าวประสาทตา (optic disc)

ภาพประกอบจาก Arch Ophthalmol. 2001;119:1475-79

การเปลี่ยนแปลงตามธรรมชาติของวันตา

เมื่อผู้ป่วยมีอายุเพิ่มขึ้น จะเกิดการเปลี่ยนแปลงภายในลูกตาของผู้ป่วยใน 2 กระบวนการหลัก คือ

1.1 Vitreous liquefaction เป็นการเลื่อมสภาพจากวันตาคล้ายเป็นของเหลวเป็นหย่อมๆ และรวมตัวกันเป็นถุงของเหลวอยู่ในวันตา ถุงของเหลวจะรวมตัวกันมีขนาดใหญ่ขึ้นตามอายุ ซึ่งส่งผลให้ปริมาตรโดยรวมของวันตาลดลง เกิดการหดยุบตัวของวันตา การลดลงของปริมาตรของวันตาจะกระตุนให้เกิดผลลัพธ์ คือ เกิดแรงดึงที่ส่วนต่อประสานระหว่างวันตา กับจอตา (vitreoretinal interface traction)

1.2 Posterior vitreous detachment (PWD) เมื่อแรงยึดระหว่างวันตากับเนื้อเยื่อชั้น internal limiting membrane ลดลง จะทำให้เกิดผลลัพธ์คือ การแยกตัวของวันตาออกจากจอตา (posterior vitreous detachment) ซึ่งถ้าติดตามด้วย OCT จะเกิดเรียงตามตำแหน่งแบ่งเป็น 4 ระยะ⁶⁻¹¹ ดังนี้

A. บริเวณรอบ fovea (perifoveal region) บางส่วนโดยมักเริ่มจากทาง temporal

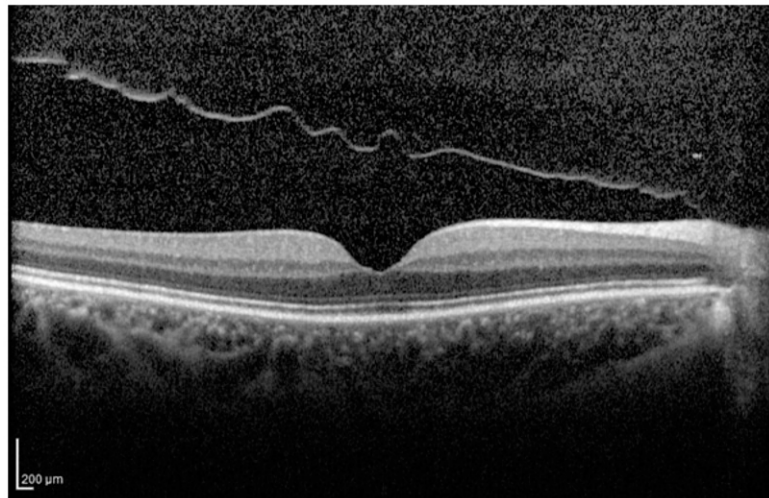
B. การแยกตัวขยายทั่ว perifoveal region, แต่ยังมีการยึดติดของวันตาที่บริเวณ fovea และข้าวประสาทตา optic disc อยู่

C. การลอกหลุดของวันตาที่ fovea

D. การลอกหลุดของวันตาที่ข้าวประสาทตา (optic disc)

Normal PVD ในกรณีที่เกิดการแยกตัวแบบปกติของวันตานั้น สมดุลของแรงลอกหลุดระหว่าง vitreous cortex และแรงยึดติดของ vitreous cortex กับ ILM เกิดขึ้นพร้อมๆ กันอย่างสมดุล¹¹

Anomalous PVD กรณีที่เกิดความไม่สมดุลระหว่างแรงลอกหลุดของ vitreous cortex และแรงยึดติดของ vitreous cortex กับ ILM จะทำให้มีภาวะ anomalous



รูปที่ 2 ภาพ OCT แสดงการแยกตัวของรุ้นตาออกจากจอตา (posterior vitreous detachment) แต่ยังมีการยึดติดของรุ้นตาที่บริเวณขั้วประสาทตา optic disc อุญ

PVD¹¹⁻¹² โดยในกรณีนี้ แรงยึดติดของ vitreous cortex กับ ILM จะมีมากเป็นเป็นแคนบากจุด การดึงรั้งของรุ้นตาต่อจอตา (traction) จะเกิดขึ้นเร็วๆ ว่าการเกิดแยกตัวของรุ้นตาจากจอตาได้หมด (incomplete PVD) ซึ่งทำให้เกิดภาวะ vitreomacular traction (VMT) syndrome ตามมา

การแบ่งประเภทของพยาธิสภาพบริเวณส่วนต่อประสานของจุดภาพชัดของจอตาและรุ้นตา (VMI)

แบ่งเป็น 2 ประเภท คือ vitreomacular adhesion (VMA) และ vitreomacular traction (VMT) โดยมีการแยกที่สำคัญคือ VMA จะไม่มีความผิดปกติใดๆ เกิดที่บริเวณ fovea และ จอตา ในขณะที่ VMT จะมีความผิดปกติที่ fovea และ จอตา ร่วมด้วย

1. Vitreomacular adhesion เป็นการแยกตัวของรุ้นตาที่เกิดบริเวณ perifovea ซึ่งได้จากการวินิจฉัยด้วยเครื่องตรวจ OCT เพียงเท่ากับ stage 1 PVD เราถือว่า VMA เป็นภาวะปกติของมนุษย์ ไม่มีความผิดปกติเกิดขึ้นกับจอตา

ลักษณะจาก OCT ที่พบตามเกณฑ์การวินิจฉัย¹³ คือ

- i. พบรการยกตัวของ perifoveal vitreous cortex ออกจากจอตา
- ii. ส่วนใดส่วนหนึ่งของบริเวณที่เป็นจุดภาพชัดมี

การยึดติดกับ vitreous cortex ในแนวรัศมี 3 มิลลิเมตรจาก fovea

iii. ไม่มีความผิดปกติของ fovea และเนื้อเยื่ออ่อนต้าที่ลึกลงไป

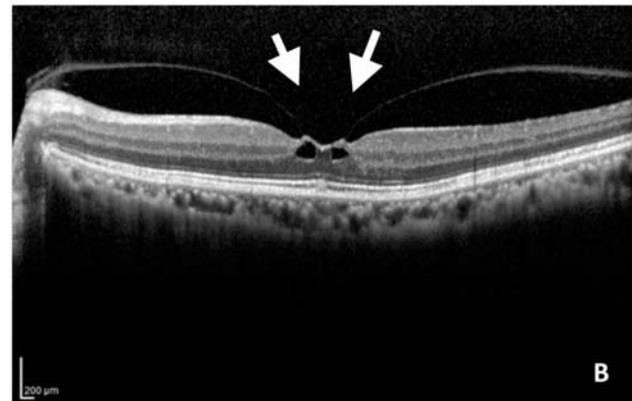
การแบ่งชนิดของ VMA ตามขนาด

- i. focal ($\leq 1,500 \mu\text{m}$)
- ii. broad ($\geq 1,500 \mu\text{m}$)

การแบ่งชนิดของ VMA ตามการตรวจพบโรคร่วมของจอตา

- i. VMA ที่เกิดขึ้นเฉพาะตัว (isolated)
- ii. เกิดขึ้นร่วมกับโรคอื่นของจอตา (concurrent) เช่น จุดภาพชัดเสื่อม (aged related macular degeneration) หลอดเลือดดำเนินตาอุดตัน (retinal vein occlusion) จุดภาพชัดบวมน้ำจากโรคเบาหวาน (diabetic macular edema) เป็นต้น

2. Vitreomacular traction พัฒนาการของภาวะ PVD จะทำให้เกิดแรงดึงรั้งต่อจุดภาพชัด และทำให้เกิดการเปลี่ยนแปลงทางกายภาพของพื้นผิวของ fovea เกิดถุงน้ำเทียมขึ้นในเนื้อเยื่อจอตา (intraretinal pseudocyst formation), การยกตัวของ fovea จากชั้น RPE ซึ่งทั้งหมดนี้จะส่งผลให้การมองเห็นลดลง การวินิจฉัยทำด้วยการตรวจ OCT

Vitreomacular adhesion (VMA)**Vitreomacular traction (VMT)****รูปที่ 3 ภาพแสดง OCT**

(A) vitreomacular adhesion (VMA) และ

(B,C) vitreomacular traction (VMT)

- ภาพ A คือ Focal VMA ลูกศรลีข้าวแสดงจุดเกาะของ vitreous กับ retina โดยระยะติดกับจอตา น้อยกว่าหรือเท่ากับ 1,500 mm ไมครอน และไม่พบความผิดปกติบริเวณ fovea
- ภาพ B,C คือ Focal VMT ลูกศรลีข้าวแสดงจุดเกาะของ vitreous กับ retina โดยระยะติดกับจอตา น้อยกว่าหรือเท่ากับ 1,500 mm ไมครอน และพบความผิดปกติของรูปร่างของ fovea (*intrafoveal pseudo-cyst* ในภาพ B)

ซึ่งจะพบการแยกตัวของวุ้นตาในบริเวณ perifovea ร่วมกับ มีการเปลี่ยนแปลงทางกายภาพของจอตา เรามีเกณฑ์ดังนี้¹³

i. พบรอยแยกตัวของ perifoveal vitreous cortex ออกจากจอตา

ii. ส่วนใต้ส่วนหนึ่งของบริเวณที่เป็นจุดภาคชั้นมีการ ยึดติดกับ vitreous cortex ในแนวรัศมี 3 มิลลิเมตร จาก fovea

iii. มีความผิดปกติทางกายภาพของจอตา เช่น distortion of foveal surface, intraretinal structural changes หรือ การแยกตัวของ fovea จาก RPE

การแบ่งชนิดของ VMT ตามขนาด

i. focal ($\leq 1,500 \mu\text{m}$)ii. broad ($\geq 1,500 \mu\text{m}$)

การแบ่งชนิดของ VMT ตามการตรวจพื้นที่ของจอตา

i. VMT ที่เกิดขึ้นเฉพาะตัว

ii. เกิดขึ้นร่วมกับโรคอื่นของจอตา เช่น จุดภาคชั้น เลื่อม หลอดเลือดดำในตาอุดตัน จุดภาคชั้นบวมน้ำจากโรคเบาหวาน เป็นต้น

Epiretinal membrane (ERM) formation เมื่อ เกิด PVD พัฒนาขึ้น ชั้นส่วนของวุ้นตามากติดค้างอยู่ที่ผิว จอตาเรียกว่า vitreoschisis ส่วนของวุ้นตาที่เหลือ จะเกิดการพัฒนาลายเป็น ERM การหดตัวของ ERM ที่เพิ่มขึ้น จะดึงรังผิว macula และส่งผลต่อ fovea เช่นกัน

การรักษา

1. การสังเกตอาการ จากการศึกษาธรรมชาติของโรคกลุ่ม VMA ที่มีอาการและ VMT ด้วย SD-OCT โดย John และคณะ¹⁴ ในผู้ป่วย 106 ตาพบว่า เมื่อติดตามอาการไป 23 เดือนผู้ป่วยร้อยละ 32 จากทั้งหมด หายได้เอง ซึ่งจากการ

ศึกษานี้แสดงว่าการเริ่มต้นด้วยการสังเกตอาการในผู้ป่วยที่มีอาการน้อย และใช้ข้อมูลจาก OCT อาจเป็นทางเลือกในการรักษาผู้ป่วยได้

2. การผ่าตัดรักษา

- ผู้ป่วย VMA ที่ไม่มีอาการ ถือว่าไม่มีข้อบ่งชี้ในการผ่าตัด

- ผู้ป่วย VMT การผ่าตัดรักษาด้วยเทคนิค pars plana vitrectomy (PPV) ร่วมกับการทำการลอกผังพื้ด (ERM peeling) เป็นการรักษามาตรฐานสำหรับกลุ่ม VMT¹⁵ โดยหลังผ่าตัดพบว่า ระดับการมองเห็นดีขึ้น 2 แบบของ Snellen chart ได้ร้อยละ 45 ถึงร้อยละ 100¹⁵⁻¹⁷ ซึ่งพบว่าล้มพันธ์ กับการลดลงของความหนาที่ fovea นอกจากนี้พบว่า ผลการรักษาที่ดียังล้มพันธ์กับระยะเวลาที่เป็นโรค (น้อยกว่า 6 เดือน) และระดับความหนาของจอตาที่น้อย กระบวนการฟื้นตัวหลังผ่าตัดของเนื้อเยื่อจอตาเมื่อติดตามการรักษาด้วย OCT พบร่วงเวลาการฟื้นตัวนานอย่างน้อย 12 เดือน¹⁸⁻²⁰

Full-thickness macular hole (FTMH) มีคำจำกัดความคือ ความผิดปกติทางกายภาพที่เกิดกับบริเวณ fovea ซึ่งพบมีการสูญเสียของเนื้อเยื่อจอตาตั้งแต่ชั้น ILM จนถึงชั้น RPE จากการวินิจฉัยโดยเครื่อง OCT ทำให้เกิดเป็นรูที่จุดภาพชัด¹³

กลไกการทำให้เกิดรูที่จุดภาพชัดมีหลายกลไกร่วมกัน ซึ่งผลลัพธ์สุดท้ายจะทำให้เกิดรูตรงกลาง มักมีขอบที่มีลักษณะกลม อาจมีการคั่งของน้ำในเนื้อเยื่อจอตาเกิดเป็นถุงน้ำเทียม (pseudocyst) ซ่อนอยู่ด้วย ส่วนวุ่นตาอาจยืดเกะหรือไม่ เกาะยึดติดอยู่กับขอบของรูรักษาได้

การแบ่งประเภทตามแนวทางของการตรวจด้วยเครื่องตรวจ OCT¹³ แบ่งเป็น

การแบ่งชนิดด้วยขนาด วัดจากส่วนที่แคบที่สุดของรูจาก OCT โดยต้องไม่ใช้ชั้น ILM

- รูขนาดเล็ก: $\leq 250 \text{ } \mu\text{m}$
- รูที่มีขนาดกลาง: $250 - 400 \text{ } \mu\text{m}$
- รูขนาดใหญ่: $\geq 400 \text{ } \mu\text{m}$

การใช้ขนาด 250 μm เป็นตัวแบ่งนี้เนื่องจากพบว่า รูที่มีขนาดเล็กกว่าหรือเท่ากับ 250 μm ครอบจะมีรายงานว่าโอกาสที่จะปิดเองได้แม้ไม่มาก และมีโอกาสสูงที่จะปิดได้ด้วยการผ่าตัด vitrectomy บางรายงานถึงร้อยละ 100 หรือการใช้ยาเนิดที่มีฤทธิ์ vitreolysis มีโอกาสสูงได้เป็นส่วนใหญ่²¹

กลุ่มรูที่มีขนาดกลาง (250 - 400 μm) โอกาสสำเร็จด้วยวิธีการผ่าตัดสูงมากกว่าร้อยละ 90 ในเกือบทุกการศึกษาด้วยเทคนิคการผ่าตัด vitrectomy ร่วมกับการทำ ILM peeling หรือไม่ก็ได้²²⁻²³ แต่กลุ่มนี้การรักษาด้วยยาไม่โอกาสสำเร็จต่ำกว่าการผ่าตัดและต่ำกว่ากลุ่มที่มีรูขนาดเล็ก²⁴

กลุ่มรูขนาดใหญ่ กลุ่มนี้ต้องทำการผ่าตัด vitrectomy และทำ ILM peeling ด้วยทุกรายโดยมีอัตราความสำเร็จอยู่ที่ร้อยละ 90 ถึง 95 แต่ก็ไม่ได้ทำการผ่าตัด ILM peeling จะมีอัตราความสำเร็จลดลงเหลือร้อยละ 75²⁵ และผู้ป่วยกลุ่มนี้มักไม่สำเร็จด้วยการใช้ยารักษา²¹

การแบ่งชนิดด้วยสถานะของวุ่นตา ว่า มี หรือไม่มี VMT เครื่อง OCT จะสามารถแยกได้ว่ามีการดึงรั้งของวุ่นตาไปยังรูเปิดที่จุดภาพชัดหรือไม่ เพื่อช่วยในการพยากรณ์ของโรคและวางแผนการรักษา

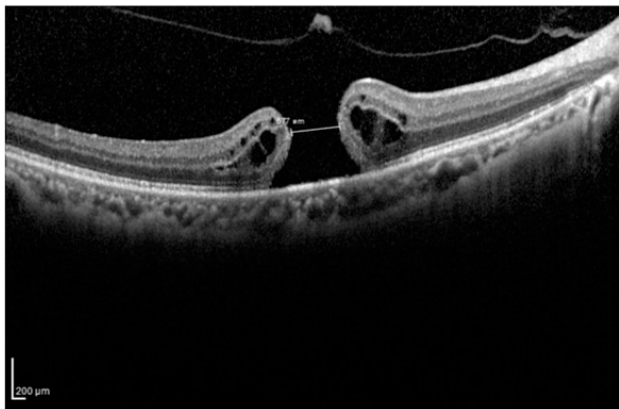
การแบ่งชนิดตามสาเหตุ

i. **Primary** การเกิดรูที่จุดภาพชัดที่เกิดขึ้นเองจากแรงดึงของวุ่นตาที่ผิดปกติไปยังจุดภาพชัด

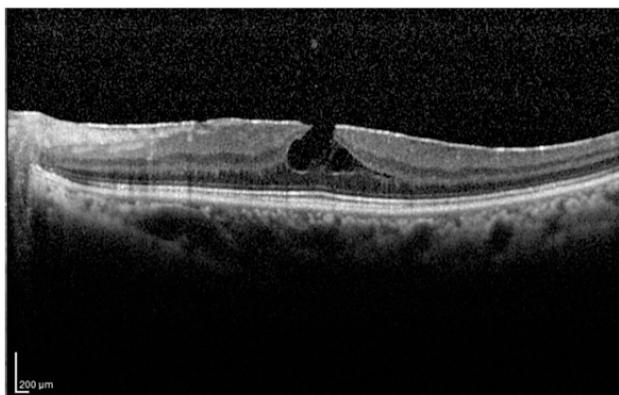
ii. **Secondary** เกิดจากสาเหตุอื่นโดยไม่มีลักษณะของ VMT มา ก่อน เช่น จากแรงกระแทกเมื่อได้รับอุบัติเหตุ กลุ่มคนไข้ที่มีสายตาล้มมากผิดปกติ กลุ่มโรคจุดภาพชัดเลื่อนในผู้สูงอายุ หรือการผ่าตัดตาที่ผู้ป่วยเคยได้รับก่อนหน้ารูที่จุดภาพชัดมีโอกาสเกิดร่วมกับการมีจุดภาพชัดบวมซึ่งล้มพันธ์กับโรคทางร่างกายอื่นหรือโรคภายในลูกตาอื่นได้แก่ จุดภาพชัดบวมน้ำจากเบาหวาน, เลนส์เลือดดำในตาอุดตันร่วมกับมีจุดภาพชัดบวมน้ำ จุดภาพชัดเลื่อนในผู้สูงอายุชนิดเปียก (wet AMD) และ uveitis

Impending macular hole ในกรณีที่มีรูที่จุดภาพชัดในตาซ้างหนึ่ง และตรวจพบโดยเครื่อง OCT ว่ามี VMA หรือ VMT อุญญในตาอีกซ้าง จากการศึกษาพบว่าตาซ้างที่มี

Full-Thickness Macular Hole (FTMH)



Lamellar Macular Hole (LMH)



รูปที่ 4 ภาพ OCT แสดง full-thickness macular hole (FTMH-ภาพบน), lamellar macular hole (LMH-ภาพล่าง) ตามแนวทางของ the International Vitreomacular Traction Study (IVTS) Classification System for Vitreomacular Adhesion, Traction, and Macular Hole

- Full-thickness macular hole สามารถแบ่งตามลักษณะทางกายภาพโดย การวัดระยะที่แคบที่สุดของความกว้างของรู macular hole บริเวณ mid retina ด้วยฟังก์ชัน OCT caliper โดยให้เล่นขานานกับชั้น retinal pigment epithelium
- Lamellar macular hole with intraretinal splitting (schisis) ระหว่างชั้น outer plexiform และชั้น outer nuclear layers แต่ยังมีชั้น photoreceptor ที่เรียบปกติอยู่

ความผิดปกติเหล่านี้อยู่จะเพิ่มโอกาสที่จะพัฒนากลายเป็นรูที่จุดภาพซัดมากกว่าคนปกติ²⁶ ในอดีตนั้นผู้ป่วยกลุ่มที่ตรวจพบมีลักษณะ VMA แล้วจะถือว่าเที่ยบเท่ากับ stage 0 macular hole แต่ปัจจุบันจะใช้คำว่า impending macular hole แทน

Lamellar macular hole เป็นความผิดปกติที่เกิดขึ้นเพียงบางชั้นคือมีการสูญเสียของเนื้อเยื่อ fovea แต่บางชั้น ภาระบุคคลความผิดปกติทางกายภาพในผู้ป่วยกลุ่มนี้ใช้การตรวจ OCT เป็นหลักซึ่งตามนิยามจะประกอบด้วย

1. มีโครงสร้างรูปร่างที่ผิดไปของบริเวณ fovea
2. มีความผิดปกติที่เกิดกับเนื้อเยื่อชั้นในของบริเวณ fovea (inner layers of fovea)
3. มีการแยกตัวของเนื้อเยื่อในชั้นจotta (schisis) โดยเฉพาะระหว่างชั้น outer plexiform layer (OPL) กับ outer nuclear layer (ONL)

4. ต้องตรวจพบว่าเนื้อเยื่อในชั้น photoreceptor ยังเป็นปกติ

การเปลี่ยนแปลงของ lamellar hole ส่วนใหญ่แล้วเป็นไปอย่างช้าๆ และพบว่ามีความล้มพันธ์กับการสูญเสียการมองเห็นที่บีบีเวนตรงกลางของภาพในระยะยาว อาจพบการเห็นภาพบิดเบี้ยวร่วมด้วยได้ พบร่วมมีรายงานการเกิด lamellar hole ตามหลังการผ่าตัดต้อกระจก และจะพบในกลุ่มซึ่งมีลักษณะความผิดปกติทางตารางรวมอยู่ด้วยมาก่อน เช่น ผู้ป่วยสายตาลับ ผู้ป่วยจอตาลอกหลุด(retinal detachment) ผู้ป่วยจุดภาพซัดเลื่อน หรือผู้ป่วยกลุ่ม uveitis²⁷

การผ่าตัดรักษา ข้อบ่งชี้ในการผ่าตัดสำหรับคนไข้กลุ่มนี้รวมถึงผลลัพธ์ของการผ่าตัดนั้นยังไม่มีความชัดเจน มีรายงานความสำเร็จตั้งแต่ร้อยละ 25 ไปจนถึงร้อยละ 75²⁷⁻²⁹

Macular pseudohole (รูไม่แท้ที่จุดภาพซัด) การตรวจวินิจฉัยโดยอาศัยอาการทางคลินิกร่วมกับการตรวจโดย

ตารางที่ 1 สรุป IVTS classification system

		IVTS Classification System
		ลักษณะทาง กายภาพ
VMA	นิยาม	
	<p>1. พับการยกตัวของ perifoveal vitreous cortex ออกจากจอตา</p> <p>2. ส่วนได้ส่วนหนึ่งของบริเวณที่เป็นจุดภาพชัดมีการยึดติดกับ vitreous cortex ในแนวรัศมี 3 มิลลิเมตรจาก fovea</p> <p>3. ไม่มีความผิดปกติของ fovea และเนื้อเยื่ออ่อนต้าที่ลึกลงไป</p>	
	Classification	
	การแบ่งชนิดของ VMA ตามขนาด	
	1. focal ($\leq 1,500 \mu\text{m}$)	
	2. broad ($\geq 1,500 \mu\text{m}$)	
	การแบ่งชนิดของ VMA ตามการตรวจพบโรคร่วมของจอตา	
	1. VMA ที่เกิดขึ้นเฉพาะตัว (isolated)	
	2. เกิดขึ้นร่วมกับโรคอื่นของจอตา (concurrent) เช่น จุดภาพชัดเลื่อน (aged related macular degeneration) เส้นเลือดดำในตาอุดตัน (retinal vein occlusion) จุดภาพชัดบวมน้ำจากเบาหวาน (diabetic macular edema) เป็นต้น	
VMT	นิยาม	
	<p>1. พับการยกตัวของ perifoveal vitreous cortex ออกจากจอตา</p> <p>2. ส่วนได้ส่วนหนึ่งของบริเวณที่เป็นจุดภาพชัดมีการยึดติดกับ vitreous cortex ในแนวรัศมี 3 มิลลิเมตร จาก fovea</p> <p>3. มีความผิดปกติทางกายภาพของจอตา เช่น distortion of foveal surface, intraretinal structural changes หรือการแยกตัวของ fovea จาก RPE</p>	
	Classification	
	การแบ่งชนิดของ VMT แบ่งตามขนาด	
	1. focal ($\leq 1,500 \mu\text{m}$)	
	2. broad ($\geq 1,500 \mu\text{m}$)	
	การแบ่งชนิดของ VMT ตามการตรวจพบโรคร่วมของจอตา	
	1. VMT ที่เกิดขึ้นเฉพาะตัว (isolated)	
	2. เกิดขึ้นร่วมกับโรคอื่นของจอตา (concurrent) เช่น จุดภาพชัดเลื่อน เส้นเลือดดำในตาอุดตัน จุดภาพชัดบวมน้ำจากเบาหวาน เป็นต้น	
FTMH	นิยาม ความผิดปกติทางกายภาพที่เกิดกับบริเวณ fovea ซึ่งพบมีการสูญหายของเนื้อเยื่ออ่อนตัวตั้ง 5 ชั้น ILM จนถึงชั้น RPE	
	Classification	
	การแบ่งชนิดด้วยขนาด วัดจากส่วนที่แคมที่สุดของรูจาก OCT โดยต้องไม่ใช่ชั้น ILM	
	1. รูขนาดเล็ก: $\leq 250 \mu\text{m}$	
	2. รูที่มีขนาดกลาง: $250 - 400 \mu\text{m}$	
	3. รูขนาดใหญ่: $\geq 400 \mu\text{m}$	
	การแบ่งชนิดตามสาเหตุ	
	1. Primary การเกิดรูที่จุดภาพชัดที่เกิดขึ้นเอง	
	2. Secondary เกิดจากสาเหตุอื่นโดยไม่มีลักษณะของ VMT มา ก่อน เช่น จากแรงกระแทกเมื่อได้รับอุบัติเหตุ กลุ่มคนไข้ที่มีสายตาลับมากผิดปกติ กลุ่มโรคจุดภาพชัดเลื่อนในผู้สูงอายุ หรือการผ่าตัดตาที่ผู้ป่วยเคยได้รับก่อนหน้า	

ตารางที่ 1 สรุป IVTS classification system (ต่อ)

ลักษณะทาง		IVTS Classification System
กายภาพ		
LMH	นิยาม	
	<ol style="list-style-type: none"> มีโครงสร้างรูปร่างที่ผิดไปของบริเวณ fovea มีความผิดปกติที่เกิดกับเนื้อเยื่อชั้นในของบริเวณ fovea (inner layers of fovea) มีการแยกตัวของเนื้อเยื่อในชั้นจอตา (schisis) โดยเฉพาะระหว่างชั้น outer plexiform layer (OPL) กับ outer nuclear layer (ONL) ต้องตรวจพบว่าเนื้อเยื่อในชั้น photoreceptor ยังเป็นปกติ 	
Macular	นิยาม	
pseudohole	<ol style="list-style-type: none"> มีรอยยุบของบริเวณ fovea หรือมีการยกนูนที่ขอบของ fovea มี ERM ที่มีช่องรูเปิดตรงกลาง มีบริเวณ macular ยกตัวเป็นยอดมุมแหลม ไปยังจุดศูนย์กลางของ fovea โดยที่ความหนาของบริเวณจุดศูนย์กลางของ fovea ปกติ ไม่มีการสูญเสียเนื้อเยื่อจอตา 	

กล้องจักษุจุลทรรศน์ (slit-lamp biomicroscope) การตรวจวินิจฉัยที่ถูกต้องจะทำได้โดยอาศัยเครื่องตรวจ OCT เท่านั้น³⁴ เกณฑ์ในการวินิจฉัยโรคนี้มี 4 ข้อได้แก่

- มีรอยยุบของบริเวณ fovea หรือ มีการยกนูนที่ขอบของ fovea
- มี ERM ที่มีช่องรูเปิดตรงกลาง
- มีบริเวณ macular ยกตัวเป็นยอดมุมแหลม ไปยังจุดศูนย์กลางของ fovea โดยที่ความหนาของบริเวณจุดศูนย์กลางของ fovea ปกติ
- ไม่มีการสูญเสียเนื้อเยื่อจอตา

กลไกการเกิด macular pseudohole นั้นเกิดจาก ERM เป็นสาเหตุ เมื่อมีการเปลี่ยนแปลงของ ERM จะเกิดแรงดึงรั้งไปยังจอตาที่อยู่ข้างใต้ ERM นั้น โดยรูปร่างนั้น เมื่อมีอนกับ macular hole แต่ถ้าตรวจด้วย OCT เนื้อเยื่อที่ fovea จะยังปกติ³⁴

การแบ่งประเภทของภาวะดังกล่าวด้วย OCT ที่นำมาสรุปอ้างอิงจาก IVTS classification system นี้จะช่วยให้จักษุแพทย์สามารถลีสื่อสารและเข้าใจง่ายต่องกันในสภาวะดังกล่าว รวมถึงช่วยในการวางแผนการรักษาที่เป็นระบบ เข้าใจพยากรณ์ของโรคที่ดีขึ้น

References

- Bishop PN. Structural macromolecules and supramolecular organisation of the vitreous gel. Prog Retin Eye Res 2000; 19:323-44.
- Sebag J. Vitreous: the resplendent enigma. Br J Ophthalmol 2009;93:989-91.
- Bhutto IA, Kim SY, McLeod DS, Merges C, Fukai N, Olsen BR, et al. Localization of collagen XVIII and the endostatin portion of collagen XVIII in aged human control eyes and eyes with age-related macular degeneration. Invest Ophthalmol Vis Sci. 2004;45:1544-52.
- Sebag J. Age-related changes in human vitreous structure. Graefes Arch Clin Exp Ophthalmol 1987;225:89-93.
- Russell SR, Shepherd JD, Hageman GS. Distribution of glycoconjugates in the human retinal internal limiting membrane. Invest Ophthalmol Vis Sci 1991;32:1986-95.
- Ito Y, Terasaki H, Suzuki T, Kojima T, Mori M, Ishikawa K, et al. Mapping posterior vitreous detachment by optical coherence tomography in eyes with idiopathic macular hole. Am J Ophthalmol. 2003;135:351-5.
- Jackson TL, Nicod E, Simpson A, Angelis A, Grimaccia F, Kanavos P. Symptomatic vitreomacular adhesion. Retina. 2013;33(8):1503-11.
- Stalmans P, Duker JS, Kaiser PK, Heier JS, Dugel PU, Gandorfer A, et al. Oct-based interpretation of the vitreomacular

- interface and indications for pharmacologic vitreolysis. *Retina* (Philadelphia, Pa). 2013;33:2003-11.
9. Uchino E, Uemura A, Ohba N. Initial stages of posterior vitreous detachment in healthy eyes of older persons evaluated by optical coherence tomography. *Arch Ophthalmol* 2001;119: 1475-9.
 10. Johnson MW. Perifoveal vitreous detachment and its macular complications. *Trans Am Ophthalmol Soc* 2005;103: 537-67.
 11. Johnson MW. Posterior vitreous detachment: evolution and complications of its early stages. *Am J Ophthalmol* 2010;149: 371-82.
 12. Sebag J. Anomalous posterior vitreous detachment: a unifying concept in vitreoretinal disease. *Graefes Arch Clin Exp Ophthalmol* 2004;242:690-8.
 13. Duker JS, Kaiser PK, Binder S, de Smet MD, Gaudric A, Reichel E, et al. The International Vitreomacular Traction Study Group classification of vitreomacular adhesion, traction, and macular hole. *Ophthalmology*. 2013;120:2611-9.
 14. John VJ, Flynn HW, Smiddy WE, Carver A, Leonard R, Tabandeh H, et al. Clinical course of viteomacular adhesion managed by initial observation. *Retina*. 2014;34:442-446.
 15. McDonald HR, Johnson RN, Schatz H. Surgical results in the vitreomacular traction syndrome. *Ophthalmology*. 1994;101(8): 1397-402.
 16. Witkin AJ, Patron ME, Castro LC, Reichel E, Rogers AH, Baurnal CR, et al. Anatomic and visual outcomes of vitrectomy for vitreomacular traction syndrome. *Ophthalmic Surg Lasers Imaging*. 2010;41:425-31.
 17. Smiddy WE, Michels RG, Glaser BM, deBustros S. Vitrectomy for macular traction caused by incomplete vitreous separation. *Arch. Ophthalmol.* 1988;106(5):624-8.
 18. Sonmez K, Capone A, Trese MT, Williams GA. Vitreomacular traction syndrome: impact of anatomical configuration on anatomical and visual outcomes. *Retina*. 2008;28(9):1207-14.
 19. Davis RP, Smiddy WE, Flynn HW, Puliafito CA. Surgical management of vitreofoveal traction syndrome: optical coherence tomographic evaluation and clinical outcomes. *Ophthalmic Surg. Lasers Imaging*. 2010;41(2):150-6.
 20. Sayegh RG, Georgopoulos M, Geitzenauer W, Simader C, Kiss C, Schmidt-Erfurth U. High-resolution optical coherence tomography after surgery for vitreomacular traction: a 2-year follow-up. *Ophthalmology*. 2010;117(10):2010-7, 2017.e1-2.
 21. Stalmans P, Benz MS, Gandorfer A, Kampik A, Girach A, Pakola S, et al. Enzymatic vitreolysis with ocriplasmin for vitreomacular traction and macular holes. *N Engl J Med*. 2012;367:606-15.
 22. Ip MS, Baker BJ, Duker JS, Reichel E, Baumal CR, Gangnon R, et al. Anatomical outcomes of surgery for idiopathic macular hole as determined by optical coherence tomography. *Arch Ophthalmol*. 2002;120:29-35.
 23. Ullrich S, Haritoglou C, Gass C, Schaumberger M, Ulbig MW, Kampik A. Macular hole size as a prognostic factor in macular hole surgery. *Br J Ophthalmol*. 2002;86:390-3.
 24. Trese MT, Williams GA, Hartzler MK. A new approach to stage 3 macular holes. *Ophthalmology* 2000;107:1607 -11.
 25. Chang S. Controversies regarding internal limiting membrane peeling in idiopathic epiretinal membrane and macular hole. *Retina* 2012;32(suppl):S200-3; discussion S203 e4.
 26. Chan A, Duker JS, Schuman JS, Fujimoto JG. Stage 0 macular holes: observations by optical coherence tomography. *Ophthalmology* 2004;111:2027-32.
 27. Xirou T, Kidess A, Kourentis C, Xirou V, Feretis E, Kabanarou SA. Lamellar macular hole formation following vitrectomy for rhegmatogenous retinal detachment repair. *Clin Ophthalmol*. 2012;6:571-4.
 28. Xirou T, Kidess A, Kourentis C, Xirou V, Feretis E, Kabanarou SA. Lamellar macular hole formation following vitrectomy for rhegmatogenous retinal detachment repair. *Clin Ophthalmol*. 2012;6:571-4.
 29. Sebag J, Wang MY, Nguyen D, Sadun AA. Vitreopapillary adhesion in macular diseases. *Trans Am Ophthalmol Soc* 2009;107:35-44.
 30. Androudi S, Stangos A, Brazitikos PD. Lamellar macular holes: tomographic features and surgical outcome. *Am J Ophthalmol* 2009;148:420-6.
 31. Figueroa MS, Noval S, Contreras I. Macular structure on optical coherence tomography after lamellar macular hole surgery and its correlation with visual outcome. *Can J Ophthalmol* 2011;46:491-7.
 32. Kokame GT, Tokuhara KG. Surgical management of inner lamellar macular hole. *Ophthalmic Surg Lasers Imaging* 2007;38:61 -3.
 33. Michalewska Z, Michalewski J, Odrobina D, Pikulski Z, Cisiecki S, Dziegielewski K, et al. Surgical treatment of lamellar macular holes. *Graefes Arch Clin Exp Ophthalmol*. 2010;248: 1395-400.
 34. Allen AW Jr, Gass JD. Contraction of a perifoveal epiretinal membrane simulating a macular hole. *Am J Ophthalmol* 1976;82:684-91.